

Meccanica Quantistica - A.A. 2012/2013

Prova scritta - 28.06.2013

Per MQI risolvere il Problema 1;

Per MQII e per il corso annuale di MQ risolvere Problema 1, 1)-3), e Problema 2.

Tempo disponibile: 3 ore

Problema 1

- 1) Si scriva l'operatore $T(\mathbf{k})$ che trasla l'impulso di una particella di \mathbf{k} : e.g., da \mathbf{p} a $\mathbf{p} + \mathbf{k}$.

Il deutone può essere considerato in prima approssimazione come un (unico) sistema legato $p - n$ in una buca di potenziale in onda S . Sia $-\epsilon$ l'energia di legame. Supporremo nel seguito che il raggio d'azione della forza $p - n$ sia molto piccolo, cioè che la funzione d'onda dello stato legato possa essere approssimata dalla sua forma all'esterno della buca di potenziale. Si assumano $m_p = m_n$.

- 2) Nell'approssimazione detta sopra si scriva la funzione d'onda dello stato legato di deutone.
- 3) Il protone della coppia $p - n$ riceve per urto una velocità v . L'urto è molto veloce. Qual'è la probabilità di disintegrazione del deutone in questo processo? (Fig. 1) Discutere i limiti $v \rightarrow 0$ e $v \rightarrow \infty$ della detta probabilità.
- 4) Supponiamo che il deutone si sia disintegrato a causa dell'urto ricevuto a $t = 0$. Dopo un tempo t qual'è il valor medio $\langle \mathbf{r}^2 \rangle$ dell'elettrone del *deuterio*, che era nello stato fondamentale prima dell'urto? (Fig. 2)

Problema 2

Un fascio di particelle neutre con momento magnetico μ si muove *di moto rettilineo uniforme lungo l'asse x, con velocità v*, soggetto ad un campo magnetico B_0 diretto lungo l'asse z. Le particelle hanno spin 1/2 e sono nell'autostato con $s_z = -1/2$.

Nell'intorno al punto $x = 0$ si trova un campo magnetico lungo l'asse y schematizzabile con

$$B_y = B_1 \exp(-|x|/a) \cos(\omega t); \quad B_1 \ll B_0$$

Questa zona è indicata nel seguito come "apparato sperimentale". *N.B.:* il moto delle particelle in direzione x è qui trattato classicamente, con $x \equiv vt$.

- 1) Si calcoli in teoria perturbativa in B_1 qual'è la probabilità di inversione dello spin nell'attraversare l'apparato sperimentale.
- 2) Si spieghi come la dipendenza da ω del risultato possa essere utilizzata per una misura di μ e si indichi come l'errore sulla misura dipende dalla lunghezza a .
- 3) Si supponga di costruire un esperimento in cui l'apparato precedente venga ripetuto a distanza $b \gg a$, prima si faccia il caso di una sola ripetizione e poi di N ripetizioni: cosa cambia rispetto alla precisione della misura?

Formule utile:
$$\int d^3\mathbf{x} \frac{1}{r^2} e^{-\beta r} e^{i\mathbf{q}\mathbf{x}} = \frac{2\pi^2}{q} - \frac{4\pi}{q} \arctan\left(\frac{\beta}{q}\right)$$

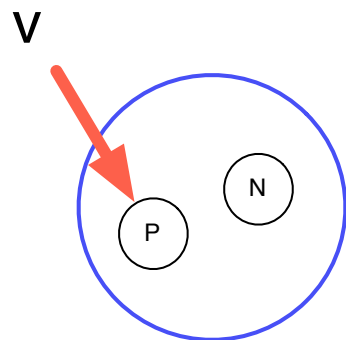


Figura 1: Deutone

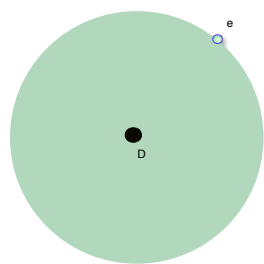


Figura 2: Deuterio

Soluzioni

Problema 1

1) L'operatore che aggiunge (trasla) l'impulso di una quantità \mathbf{p}_1 è

$$T(\mathbf{p}_1) = e^{i\mathbf{p}_1 \mathbf{x}/\hbar},$$

in analogia con il noto operatore che trasla la posizione \mathbf{x} di \mathbf{x}_0 ,

$$\hat{T}(\mathbf{r}_0) = e^{-i\hat{\mathbf{p}}\mathbf{x}_0/\hbar}.$$

La cosa si verifica immediatamente in rappresentazione degli impulsi:

$$e^{i\mathbf{p}_1 \mathbf{x}/\hbar} \varphi(\mathbf{p}) = \exp(-\mathbf{p}_1 \frac{\partial}{\partial \mathbf{p}}) \varphi(\mathbf{p}) = \varphi(\mathbf{p} - \mathbf{p}_1) \quad (1)$$

Ad esempio se φ è una funzione piccata attorno al valore nullo del suo argomento, lo stato trasformato descrive uno stato con impulso \mathbf{p}_1 .

Oppure, più banalmente, lavorando nella rappresentazione delle coordinate, l'operatore $T(\mathbf{p}_1) = e^{i\mathbf{p}_1 \mathbf{x}/\hbar}$, agendo su un autostato dell'impulso con autovalore \mathbf{p} ,

$$e^{i\mathbf{p}\mathbf{x}/\hbar}$$

dà luogo ad uno stato

$$e^{i\mathbf{p}\mathbf{x}/\hbar} \rightarrow T(\mathbf{p}_1) e^{i\mathbf{p}\mathbf{x}/\hbar} = e^{i(\mathbf{p} + \mathbf{p}_1)\mathbf{x}/\hbar},$$

che è un autostato dell'impulso con autosalone $\mathbf{p} + \mathbf{p}_1$!

In generale, una qualsiasi funzione d'onda può essere espressa come combinazione lineare di onde piane (autostati dell'impulso); ogni componente in \mathbf{p} riceve lo suddetto spostamento. Cioè

$$\psi(\mathbf{r}) = \int d^3 p \varphi(\mathbf{p}) e^{i\mathbf{p}\mathbf{x}/\hbar} \quad (2)$$

$$\rightarrow T(\mathbf{p}_1)\psi(\mathbf{r}) = \int d^3 p \varphi(\mathbf{p}) e^{i(\mathbf{p} + \mathbf{p}_1)\mathbf{x}/\hbar} = \int d^3 p \varphi(\mathbf{p} - \mathbf{p}_1) e^{i\mathbf{p}\mathbf{x}/\hbar} \quad (3)$$

che riproduce la (1).

2) Per una stato legato in onda S la funzione d'onda asintotica è, con le notazioni del testo:

$$\psi(\mathbf{x}) = A \frac{1}{r} e^{-\alpha r}; \quad \alpha = \sqrt{2\mu\epsilon}/\hbar$$

μ è la massa ridotta del sistema. La condizione di normalizzazione impone

$$4\pi A^2 \frac{1}{2\alpha} = 1 \quad (4)$$

4) Lo stato iniziale del sistema è

$$\Psi(\mathbf{R}, \mathbf{r}) = \exp(i\mathbf{P}\mathbf{R}/\hbar)\psi(r) \quad (5)$$

Indichiamo con 1, 2 il protone ed il neutrone. \mathbf{R} è la coordinata del centro di massa e \mathbf{P} l'impulso del centro di massa (si suppongono uguali le masse delle due particelle)

$$\begin{aligned} \mathbf{R} &= \frac{\mathbf{r}_1 + \mathbf{r}_2}{2}; & \mathbf{r} &= \mathbf{r}_1 - \mathbf{r}_2 \\ \mathbf{r}_1 &= \mathbf{R} + \frac{1}{2}\mathbf{r}; & \mathbf{r}_2 &= \mathbf{R} - \frac{1}{2}\mathbf{r} \end{aligned}$$

Per quanto visto al punto 1 la funzione immediatamente dopo l'urto è approssimabile dalla forma

$$\Psi_f = e^{im\mathbf{v}\mathbf{r}_1/\hbar} e^{i\mathbf{P}\mathbf{R}/\hbar} \Psi(r) = e^{i(m\mathbf{v} + \mathbf{P})\mathbf{R}} e^{i\frac{m}{2}\mathbf{v}\mathbf{r}/\hbar} \Psi(r) \quad (6)$$

In totale il sistema ha acquisito un impulso $m\mathbf{v}$ quindi l'impulso finale dovrebbe essere

$$\mathbf{P}_f = \mathbf{P} + m\mathbf{v}$$

e confrontando con l'espressione precedente si deduce che la funzione d'onda relativa dopo l'urto è

$$\Psi_f = \exp(i\mathbf{q}\mathbf{r}) \Psi(r), \quad \mathbf{q} \equiv m\mathbf{v}/2.$$

La probabilità che non si ionizzi vale

$$P_0 = \left| \int \Psi^2(r) e^{i\mathbf{q}\mathbf{r}} \right|^2 = A^2 \left[\frac{2\pi^2}{q} - \frac{4\pi}{q} \arctan\left(\frac{2\alpha}{q}\right) \right] \quad (7)$$

e la probabilità di disintegrazione è

$$1 - P_0$$

in quanto il solo stato legato è quello indicato sopra. Un modo alternativo di verificare l'affermazione è di scrivere le funzioni d'onda del continuo normalizzate in un volume V .

Come verifica, non è difficile dimostrare che nel limite di piccola velocità, i.e., $q \rightarrow 0$, (il limite adiabatico), $P_0 \rightarrow 1$, utilizzando

$$\arctan \frac{\beta}{q} \simeq \frac{\pi}{2} - \frac{q}{\beta}, \quad q \simeq 0,$$

nella (7), e ricordando la (4). Questo è consistente, come si vede direttamente dalla (7):

$$P_0 = \left| \int \Psi^2(r) e^{i\mathbf{q}\mathbf{r}} \right|^2 \rightarrow \left| \int \Psi^2(r) \right|^2 = 1. \quad (8)$$

P_0 tende a 0 invece nel limite opposto, $q \rightarrow \infty$.

Dopo la disintegrazione del deutone, il deuterio (l'elettrone) resta senza il protone, e non sarà più legato. Tuttavia a $t = 0+$ la funzione d'onda resta quella del deuterio legato,

$$\Psi_0 = \frac{r_B^{-3/2}}{\sqrt{\pi}} e^{-r/r_B}$$

Per calcolare $\langle \mathbf{r}^2 \rangle$ all'istante t , conviene utilizzare lo schema di Heisenberg,

$$\langle \Psi(t) | \mathbf{r}^2 | \Psi(t) \rangle = \langle |\Psi(0)| \mathbf{r}_H^2 | \Psi(0) \rangle,$$

dove

$$\mathbf{r}_H = e^{iHt/\hbar} \mathbf{r} e^{-iHt/\hbar},$$

ma visto che il sistema è ora libero,

$$\mathbf{r}_H = e^{ip^2 t / 2m\hbar} \mathbf{r} e^{-ip^2 t / 2m\hbar} = e^{ip^2 t / 2m\hbar} i\hbar \nabla_p e^{-ip^2 t / 2m\hbar} = \mathbf{r} + \frac{\mathbf{p}}{m} t$$

(dove abbiamo utilizzato la rappresentazione degli impulsi per convenienza). Dunque

$$\langle \Psi(t) | \mathbf{r}^2 | \Psi(t) \rangle = \langle \Psi(0) | \mathbf{r}_H^2 | \Psi(0) \rangle = \langle \Psi(0) | \left(\mathbf{r}^2 + \frac{\mathbf{r} \cdot \mathbf{p} + \mathbf{p} \cdot \mathbf{r}}{m} t + \frac{\mathbf{p}^2}{m^2} t^2 \right) | \Psi(0) \rangle.$$

Il secondo termine si annulla, mentre

$$\langle \psi(0) | \mathbf{r}^2 | \psi(0) \rangle = 3r_B^2,$$

$$\langle \psi(0) | \mathbf{p}^2 | \psi(0) \rangle = 2m \langle \psi(0) | H + \frac{e^2}{r} | \psi(0) \rangle = 2m \left(-\frac{e^2}{2r_B} + \frac{e^2}{r_B} \right) = \frac{me^2}{r_B},$$

perciò

$$\langle \psi(t) | \mathbf{r}^2 | \psi(t) \rangle = 3r_B^2 + \frac{e^2}{mr_B} t^2.$$

Problema 2

La particella si muove di moto rettilineo e possiamo trascurare l'influsso sul moto del campo magnetico, quindi possiamo porre $x = vt$.

L'Hamiltoniana del sistema, relativa allo spin, è:

$$H = -\mu B_0 s_z - \mu B_y(t) s_y = -\frac{1}{2} \mu B_0 \begin{pmatrix} 1 & -i \frac{B_1}{B_0} e^{-v|t|/a} \cos(\omega t) \\ i \frac{B_1}{B_0} e^{-v|t|/a} \cos(\omega t) & -1 \end{pmatrix} \quad (9)$$

Porremo $\hbar\omega_0 = \mu B_0$, $\hbar\omega_1 = \mu B_1$.

Lo stato iniziale e finale hanno energia

$$E_i = \frac{1}{2} \hbar\omega_0; \quad E_f = -\frac{1}{2} \hbar\omega_0$$

L'ampiezza di probabilità per passare dallo stato i allo stato f è

$$a_{fi} = -\frac{i}{\hbar} \int_{-\infty}^{\infty} e^{\frac{i}{\hbar}(E_f - E_i)} V_{fi}(t) dt = -\frac{i}{\hbar} \int_{-\infty}^{\infty} e^{-i\omega_0 t} V_{21}(t) dt$$

Nel fare l'integrale possiamo limitarci al termine risonante ottenendo

$$a_{fi} = \frac{1}{4} \mu B_1 \frac{1}{\hbar} \int_{-\infty}^{\infty} e^{-i\omega_0 t} e^{-v|t|/a} e^{i\omega t} = \frac{1}{4} \omega_1 \frac{2v/a}{(\omega - \omega_0)^2 + v^2/a^2} \quad (10)$$

e quindi per la probabilità

$$P_{i \rightarrow f} = \frac{\omega_1^2}{4} \frac{v^2}{a^2} \frac{1}{((\omega - \omega_0)^2 + v^2/a^2)^2} \quad (11)$$

Il risultato è una curva risonante per $\omega = \omega_0$ quindi misurando la frequenza di risonanza si ha una misura del momento magnetico μ . In prossimità della risonanza possiamo scrivere

$$((\omega - \omega_0)^2 + v^2/a^2)^2 \simeq \frac{v^4}{a^4} + 2(\omega - \omega_0)^2 \frac{v^2}{a^2} = 2 \frac{v^2}{a^2} \left((\omega - \omega_0)^2 + \frac{v^2}{2a^2} \right)$$

quindi

$$P_{i \rightarrow f} = \frac{\omega_1^2}{8} \frac{1}{(\omega - \omega_0)^2 + \frac{v^2}{2a^2}} \quad (12)$$

che è una Lorentziana con larghezza

$$\Gamma = \sqrt{2} \frac{v}{a}$$

che dà l'ordine di grandezza l'incertezza sulla misura.

Attorno a $x = b$ il campo magnetico è

$$B_1 e^{-|x-b|/a} \cos \omega t \rightarrow B_1 e^{-|vt-b|/a} \cos \omega t$$

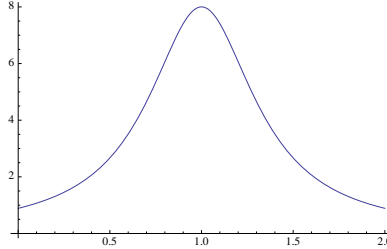


Figura 3: $P_{i \rightarrow f}$ come funzione di ω , misurato con un apparato

Per l'ampiezza (10) si ha

$$a_{fi}^{(1)} = \frac{\mu B_1}{4} \frac{1}{\hbar} \int_{-\infty}^{\infty} e^{-i\omega_0 t} e^{-(|vt-b|/a)} e^{i\omega t} = \frac{\omega_1}{2} \frac{v/a}{(\omega - \omega_0)^2 + v^2/a^2} e^{i(\omega - \omega_0)b/v} \quad (13)$$

dove abbiamo spostato la variable $t = \tau + \frac{b}{v}$ nel calcolo. In presenza di due apparecchi a $x = 0$ e a $x = b$, il risultato per $a_{fi}^{(1)}$ è, all'ordine più basso in B_1 , la semplice somma di (10) e (13):

$$a_{fi}^{(1)} = \frac{\omega_1}{2} \frac{v/a}{(\omega - \omega_0)^2 + v^2/a^2} (1 + e^{i(\omega - \omega_0)b/v}) \quad (14)$$

dove osserviamo effetti importanti dell'interferenza tra due ampiezze (tra il processo di spin flip dovuto al primo apparato e quello dovuto al secondo apparato).

$$P^{(2)} = \frac{\omega_1^2}{2} \frac{1}{(\omega - \omega_0)^2 + \frac{v^2}{2a^2}} \cos^2(\omega - \omega_0) \frac{b}{v} \quad (15)$$

In generale per N apparati a distanza b fra di loro

$$A_{fi} = \sum_{n=0}^{N-1} e^{in(\omega - \omega_0)b/v} a_{fi} = \frac{e^{iN\delta\omega b/v} - 1}{e^{i\delta\omega b/v} - 1} a_{fi}$$

e quindi per la probabilità

$$P^{(N)} = \frac{\omega_1^2}{8} \frac{1}{(\omega - \omega_0)^2 + \frac{v^2}{2a^2}} \frac{\sin^2(N(\omega - \omega_0) \frac{b}{v})}{\sin^2((\omega - \omega_0) \frac{b}{v})} \quad (16)$$

N.B., a questo ordine (al primo ordine in B_1), non ci sono contributi in cui lo spin si inverte più di una volta. La parte risonante della curva (di larghezza $\Gamma \sim v/a$) è suddivisa in frange di larghezza $\delta\omega \sim v/(bN)$, migliorando notevolmente la precisione della misura di μ , come illustrato in Fig.3, Fig.4 e Fig.5.

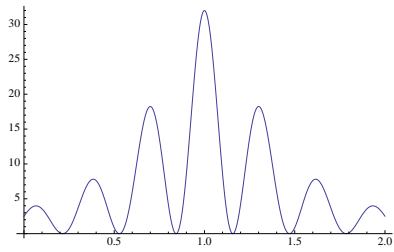


Figura 4: $P_{i \rightarrow f}$ come funzione di ω , misurato con due apparati

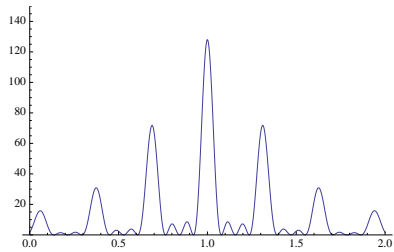


Figura 5: $P_{i \rightarrow f}$ come funzione di ω , misurato con quattro apparati